



# Synthese, Charakterisierung und Elektrochemie von redox-modifizierten Kieselgelpartikeln

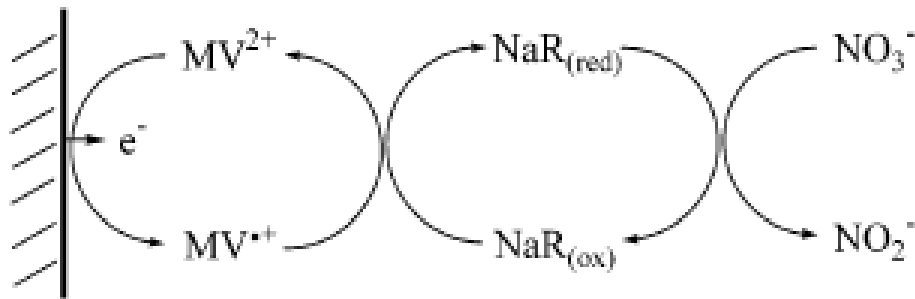
Nicolas Plumeré  
AK Prof. Dr. B. Speiser

*Institut für Organische Chemie, Universität Tübingen*

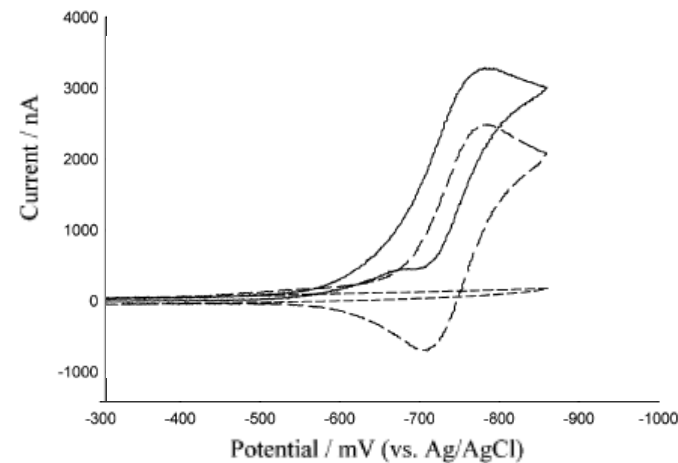
Doktorandenseminar Biggesee Academy

Attendorn  
Februar 9, 2006

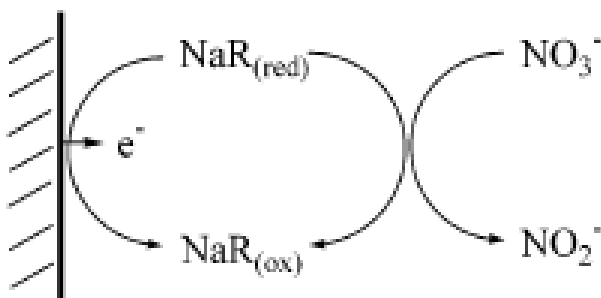
# Biosensor basiert auf Nitrat-Reductase (NaR):



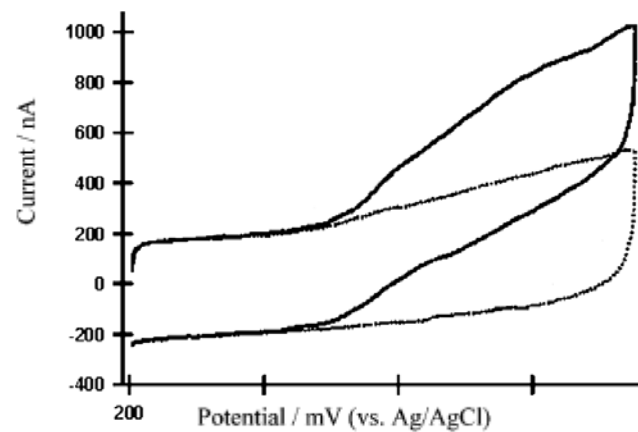
- mit Methylviologen (MV) als Mediator



D. Quan, J. H. Shim, J. D. Kim, H. S. Park, G. S. Cha, and H. Nam, Anal. Chem. **2005**, 77, 4467-4473



- durch direkten Elektronentransfer



G. G. Barbier, R. C. Joshi, E. R. Campbell, and W. H. Campbell, Protein Expression and Purification **2004**, 37 61–71

# Biosensor basiert auf Nitrat-Reductase (NaR):

- Hohe Selektivität für Nitrat<sup>[1]</sup>
- Gute Aktivität<sup>[1]</sup>
- Gute Stabilität in Puffer oder als Pulver gelagert
- NaR wird in grösseren Mengen in einem Fermenter produziert
- Aktiv nur als Dimer / Deaktivierung während Immobilisierung an Elektrode
- Stabilität ist auch gering wenn immobilisiert an Elektrodenmaterial
- Die Immobilisierung in leitfähigen Polymeren führt zur totalen Deaktivierung<sup>[2]</sup>

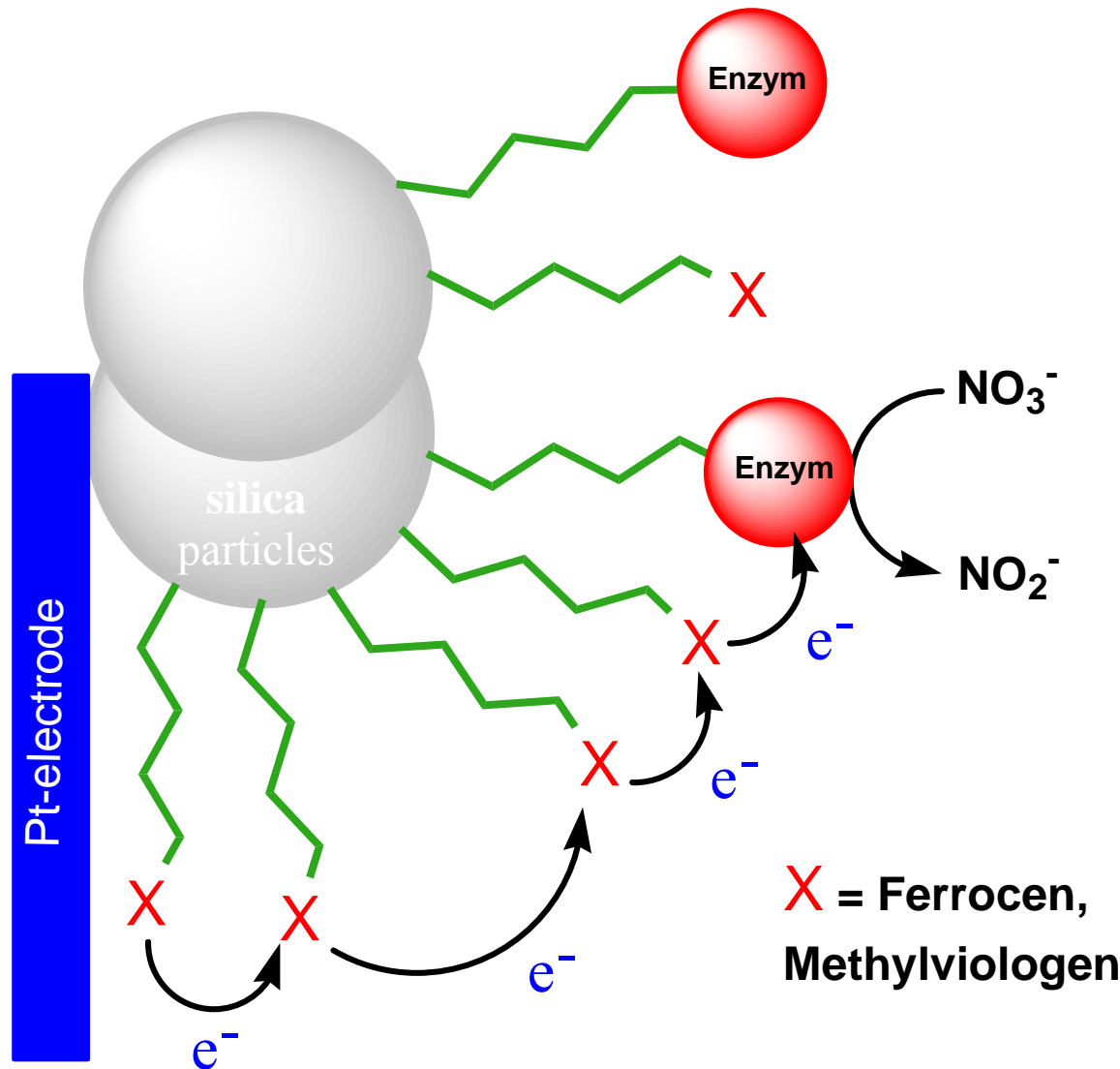


Zurzeit gibt es keinen erfolgreichen kommerziellen Nitrat-Biosensor

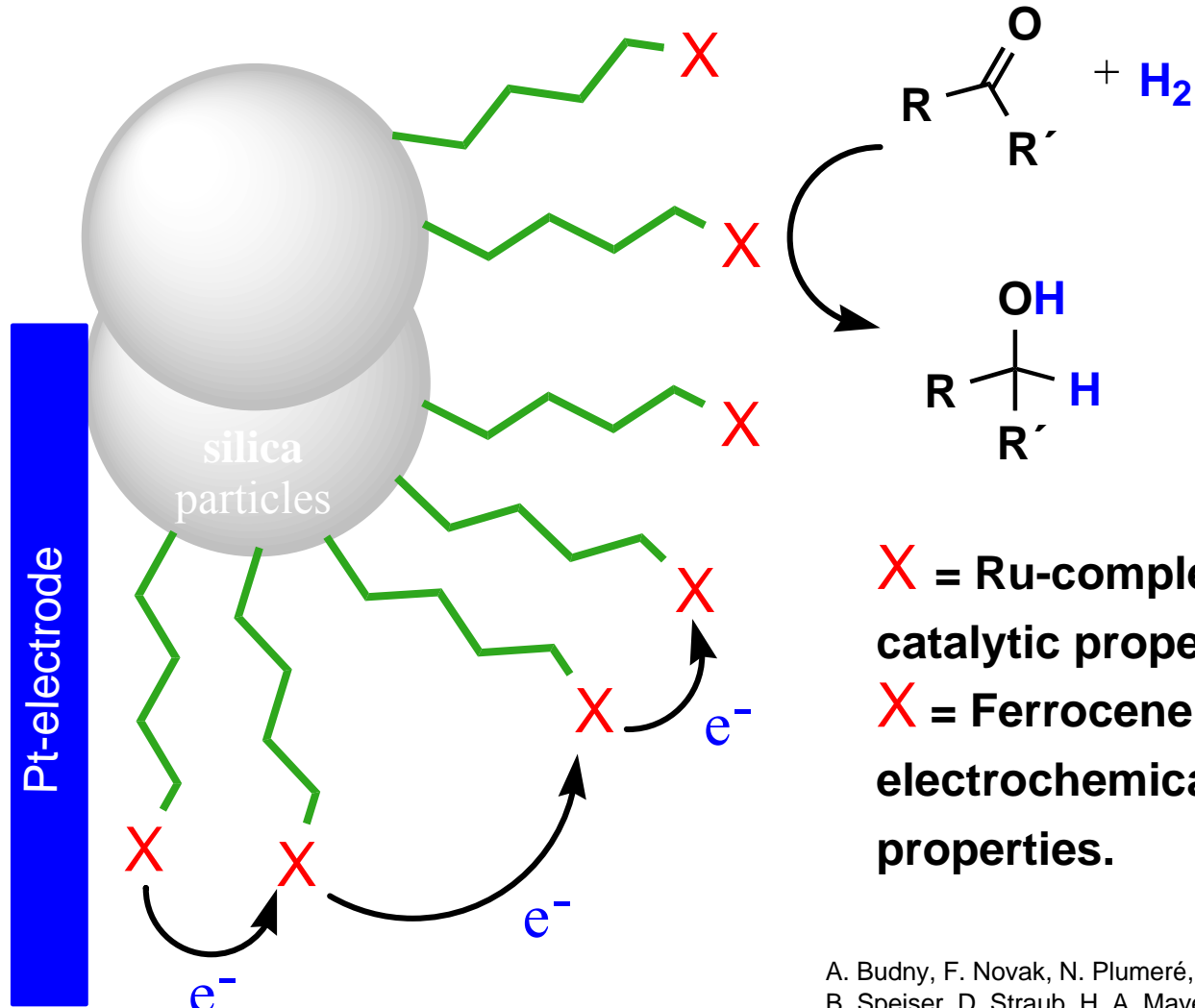
1. G. G. Barbier, R. C. Joshi, E. R. Campbell, and W. H. Campbell, Protein Expression and Purification **2004**, 37 61–71

2. G. Ramsay and S. M. Wolpert, Anal. Chem. **1999**, 71, 504-506

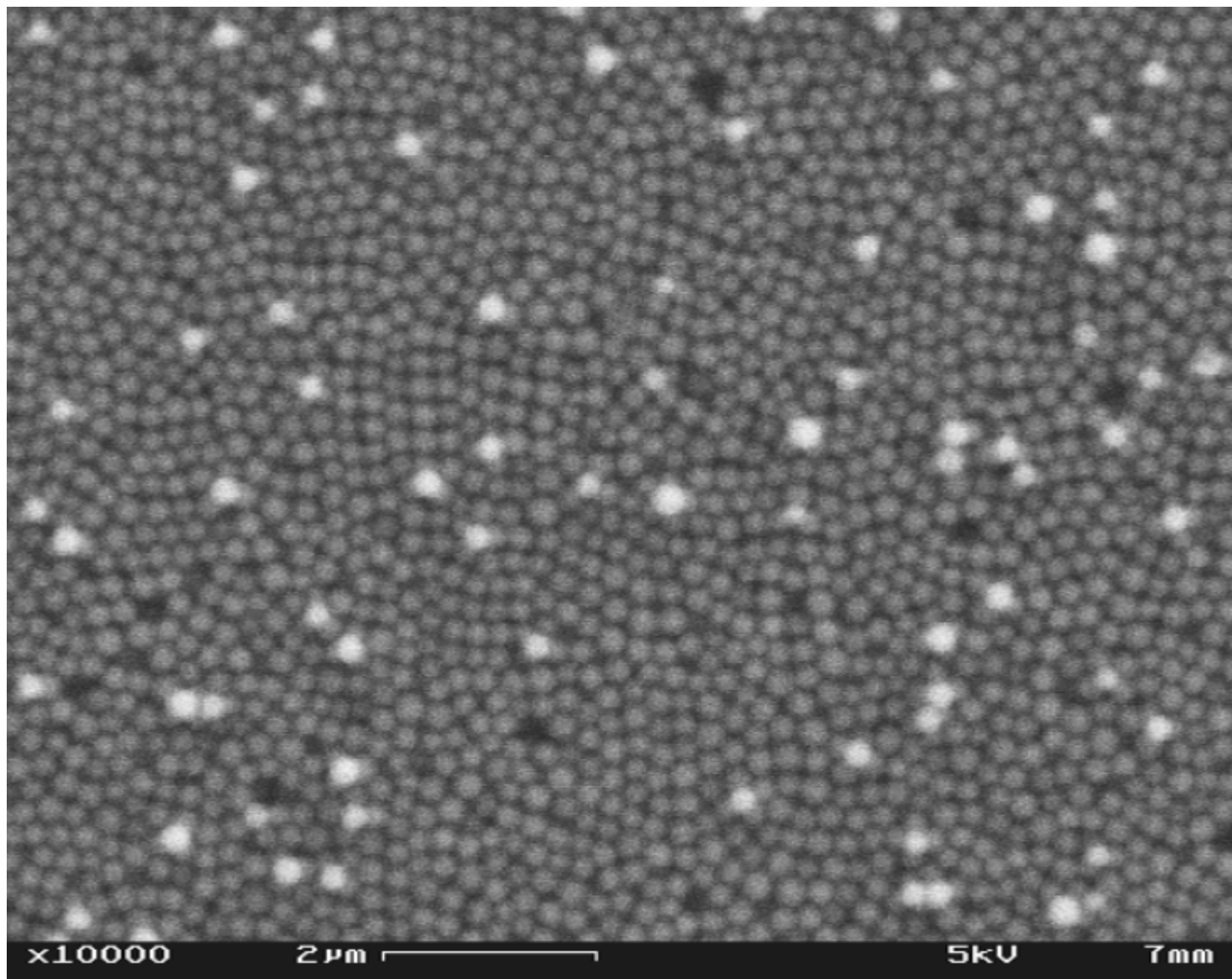
# Alternative für Enzymimmobilisierung an Elektrodenoberflächen



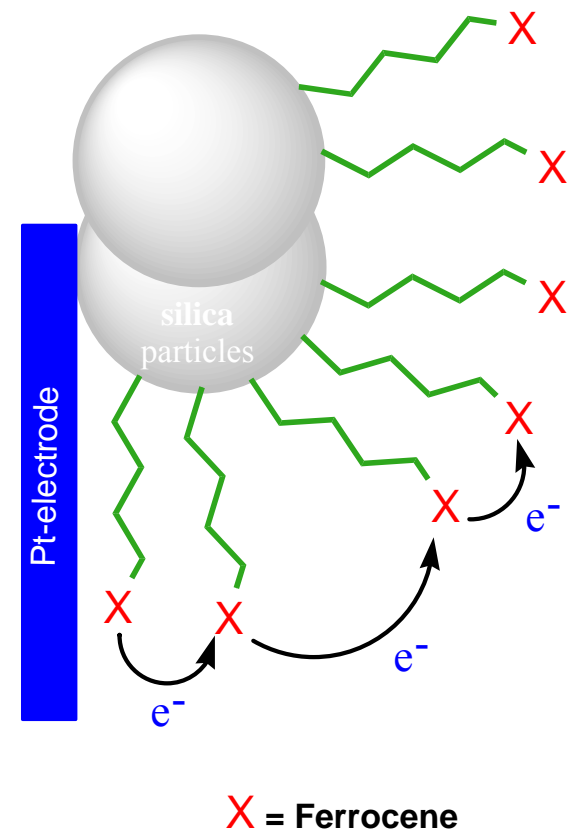
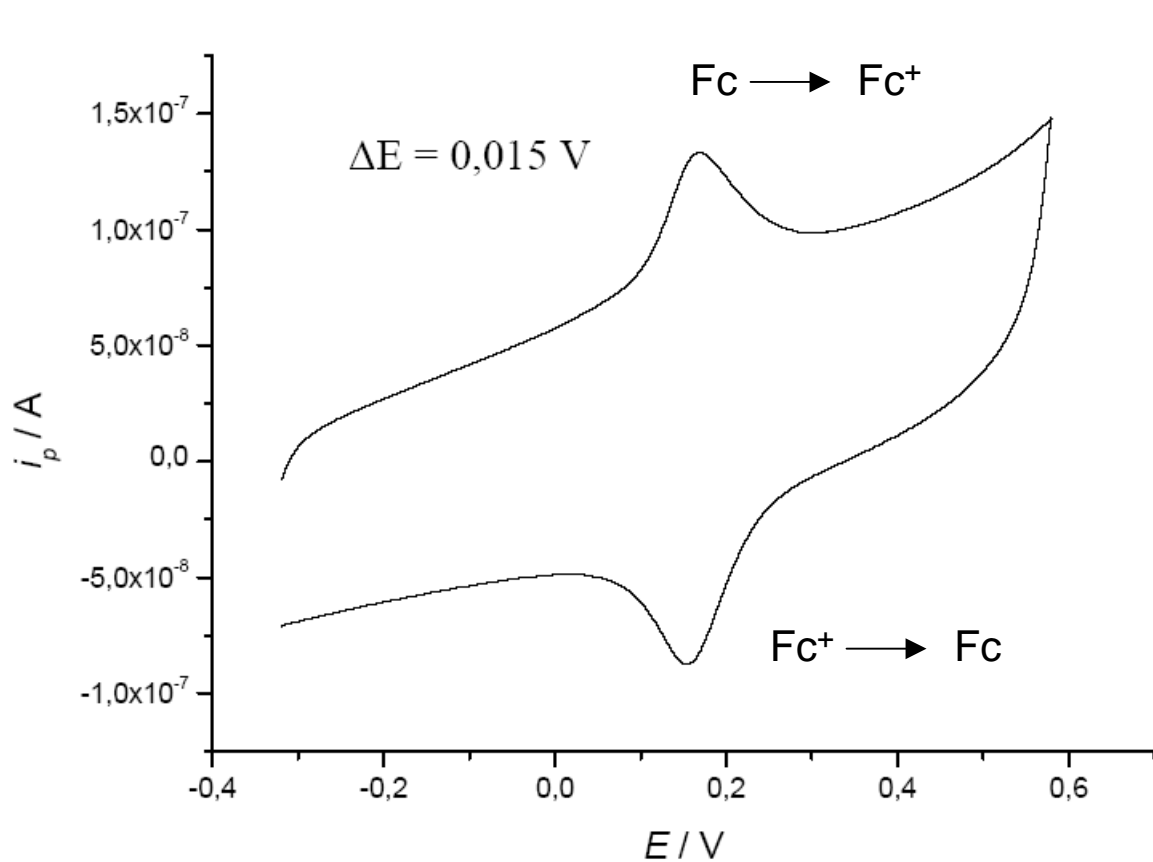
# Elektrochemie von redoxaktiven Kieselgelpartikeln



# Adsorption der redoxaktiven Kieselgelpartikel an Platin



# Cyclovoltammetrie von ferrocen-modifiziertem Kieselgel



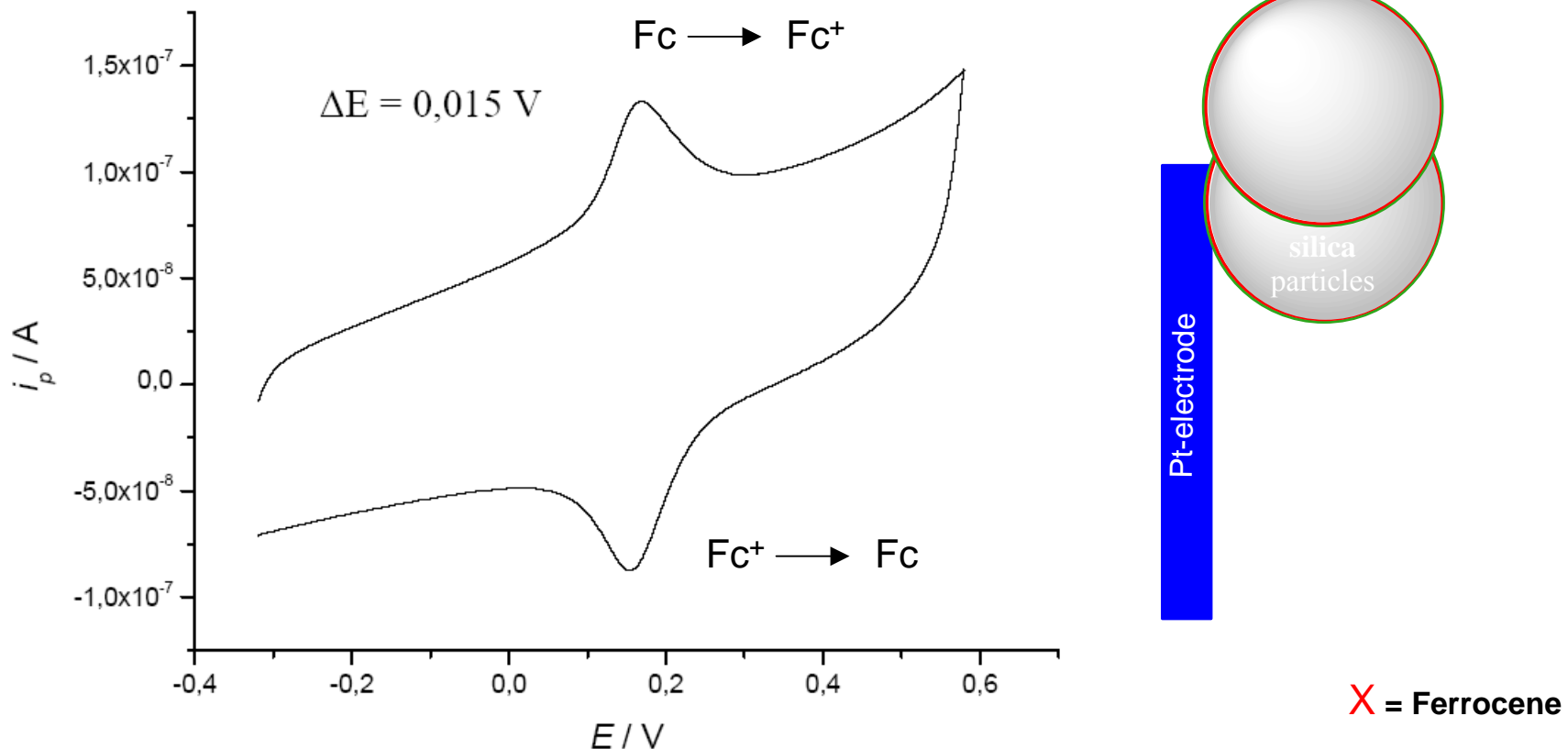
$$Fc_{AAS} = 1.96 \cdot 10^{-6} \text{ mol m}^{-2}$$

$$Fc_{CV} = 9.67 \cdot 10^{-7} \text{ mol m}^{-2}$$



$$Fc_{CV} = 50 \% \text{ von } Fc_{AAS}$$

# Cyclovoltammetrie von ferrocen-modifiziertem Kieselgel



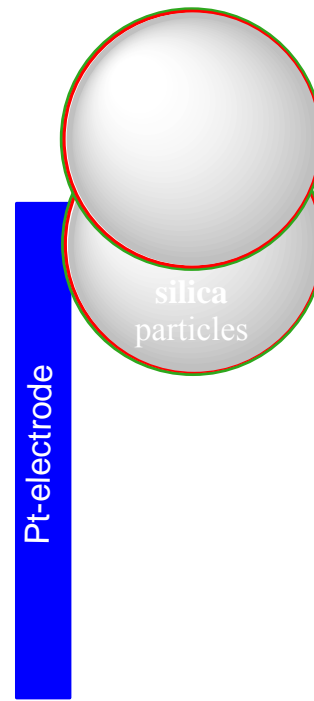
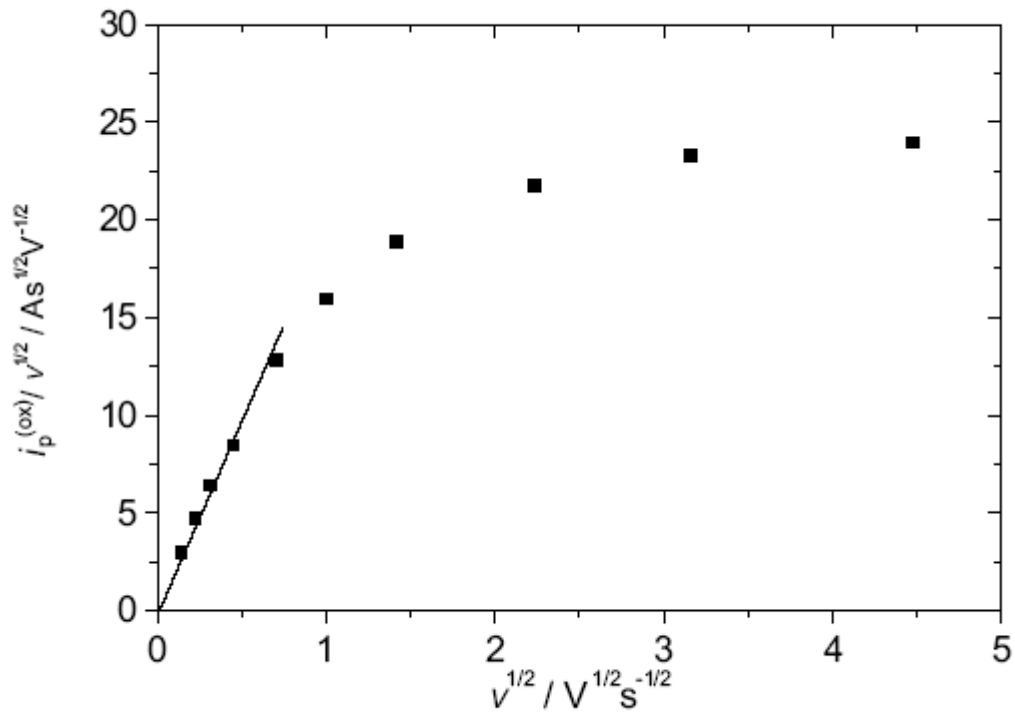
$$Fc_{AAS} = 1.96 \cdot 10^{-6} \text{ mol m}^{-2}$$

$$Fc_{CV} = 9.67 \cdot 10^{-7} \text{ mol m}^{-2}$$



$$Fc_{CV} = 50 \% \text{ von } Fc_{AAS}$$

# Cyclovoltammetrie von ferrocen-modifiziertem Kieselgel



Auftragung des Stroms  $i_p$  (normalisiert) gegen die Vorschubgeschwindigkeit

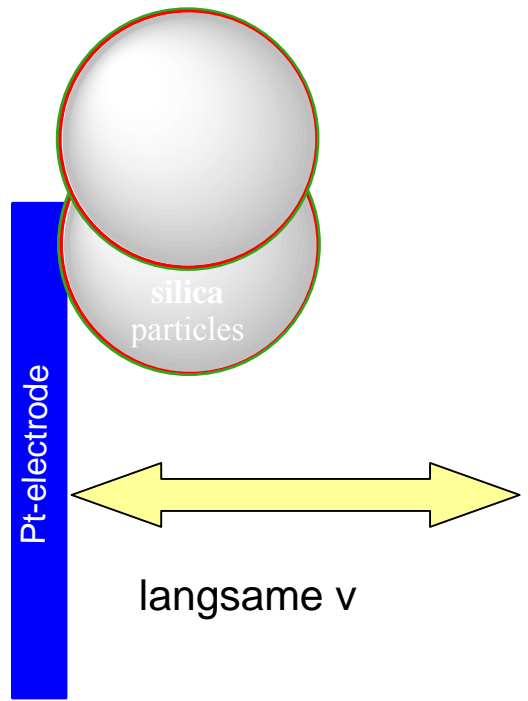
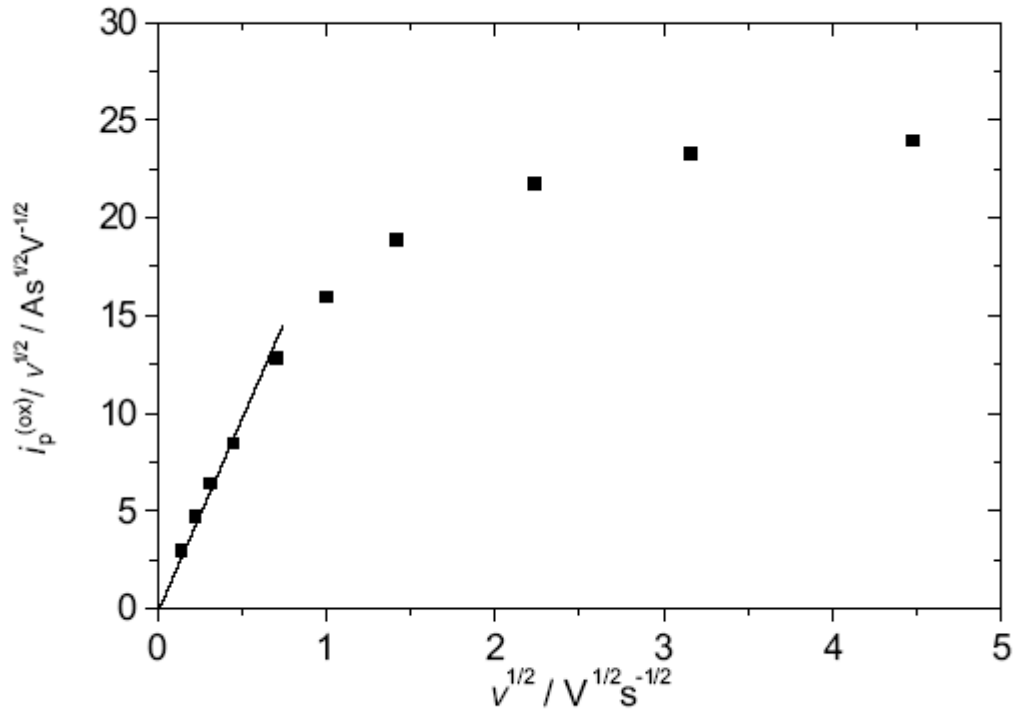
Linearität

Elektronentransfer hat Adsorptioncharakter

Plateau

Elektronentransfer hat Diffusioncharakter.

# Cyclische Voltammetry von Ferrocen modifiziertes Kieselgel

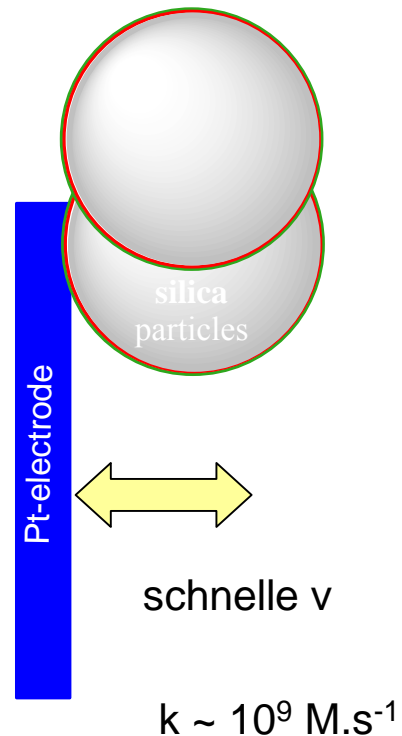
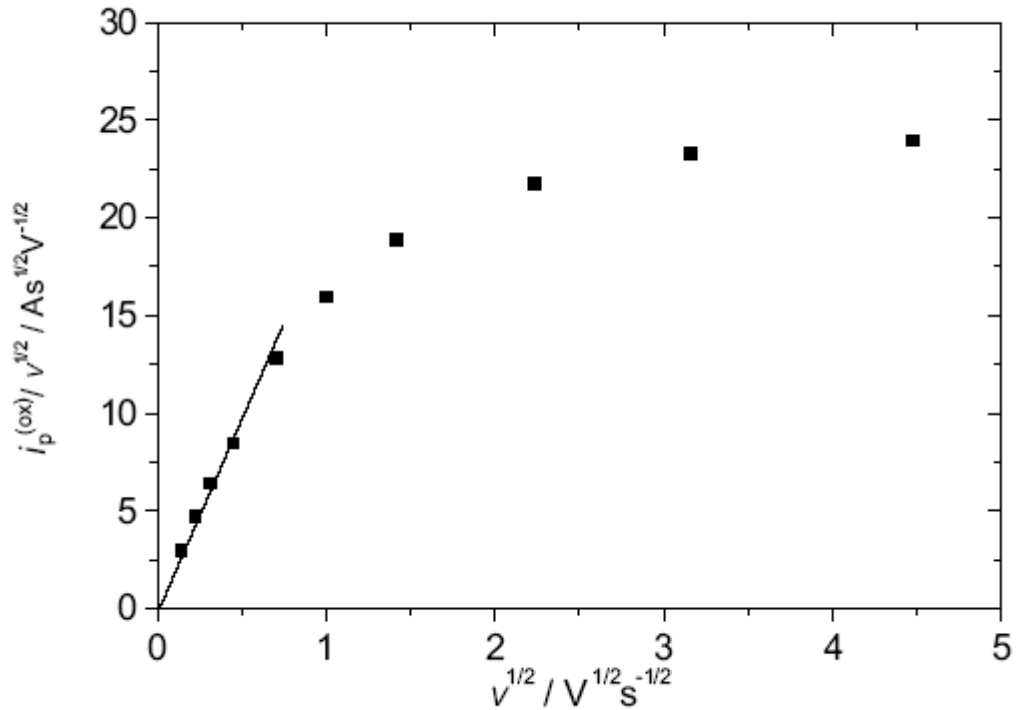


Analyse der Strohm  $i_p$  (normalisiert) für verschiedene Vorschubgeschwindigkeit ( $v$ )

Linearität Elektronentransfer hat Adsorptioncharakter

Plateau Elektronentransfer hat Diffusioncharakter.

# Cyclische Voltammetry von Ferrocen modifiziertes Kieselgel



Analyse der Strohm  $i_p$  (normalisiert) für verschiedene Vorschubgeschwindigkeit ( $v$ )

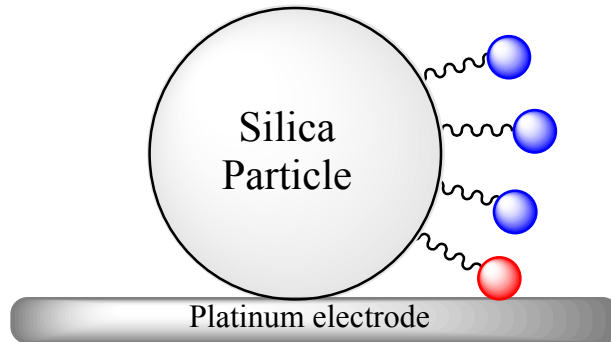
Linearität Elektronentransfer hat Adsorptioncharakter

Plateau Elektronentransfer hat Diffusioncharakter.

# Interactions between redox centers on particle surface

Proposed mechanism:

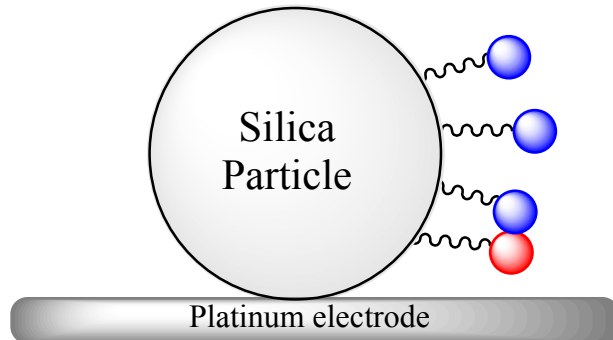
Charge transfer via electron hopping<sup>[4]</sup> between adjacent redox molecules on the particle surface.



# Interactions between redox centers on particle surface

Proposed mechanism:

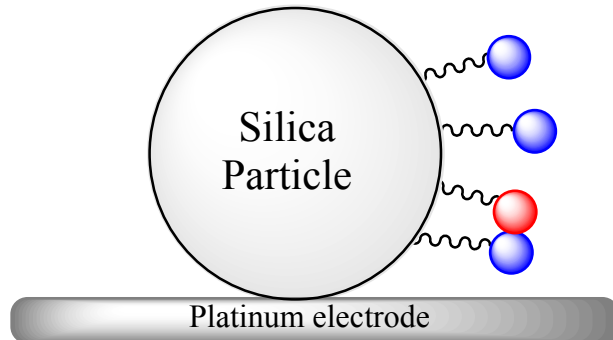
Charge transfer via electron hopping<sup>[4]</sup> between adjacent redox molecules on the particle surface.



# Interactions between redox centers on particle surface

Proposed mechanism:

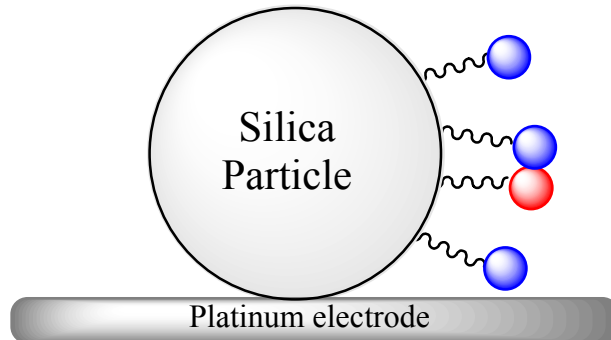
Charge transfer via electron hopping<sup>[4]</sup> between adjacent redox molecules on the particle surface.



# Interactions between redox centers on particle surface

Proposed mechanism:

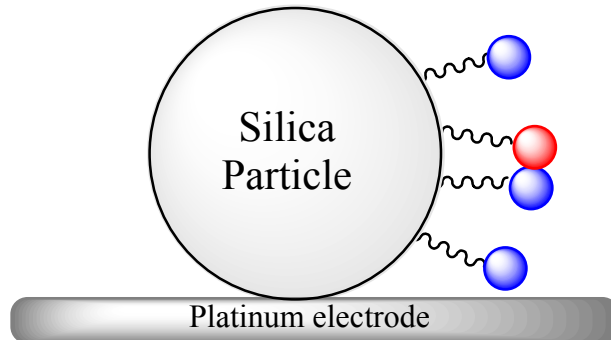
Charge transfer via electron hopping<sup>[4]</sup> between adjacent redox molecules on the particle surface.



# Interactions between redox centers on particle surface

Proposed mechanism:

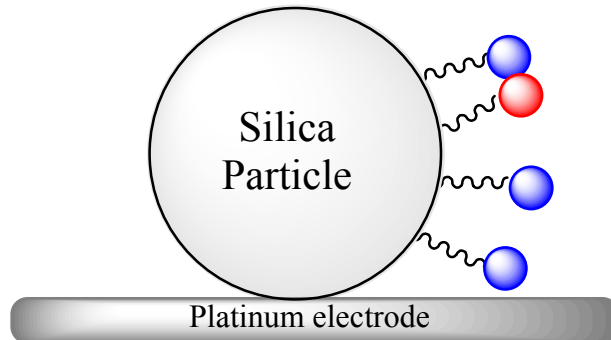
Charge transfer via electron hopping<sup>[4]</sup> between adjacent redox molecules on the particle surface.



# Interactions between redox centers on particle surface

Proposed mechanism:

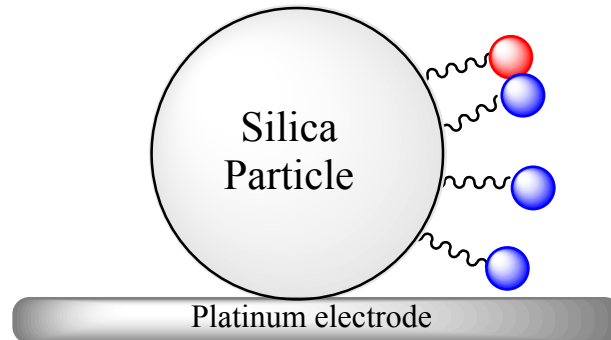
Charge transfer via electron hopping<sup>[4]</sup> between adjacent redox molecules on the particle surface.



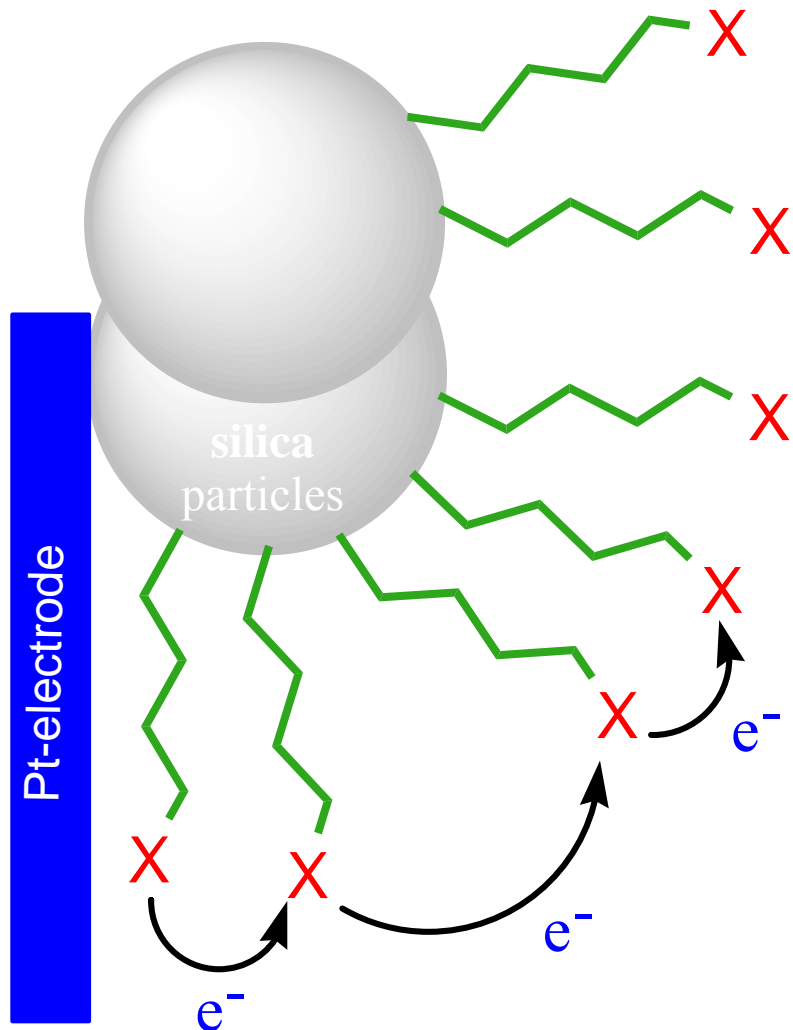
# Interactions between redox centers on particle surface

Proposed mechanism:

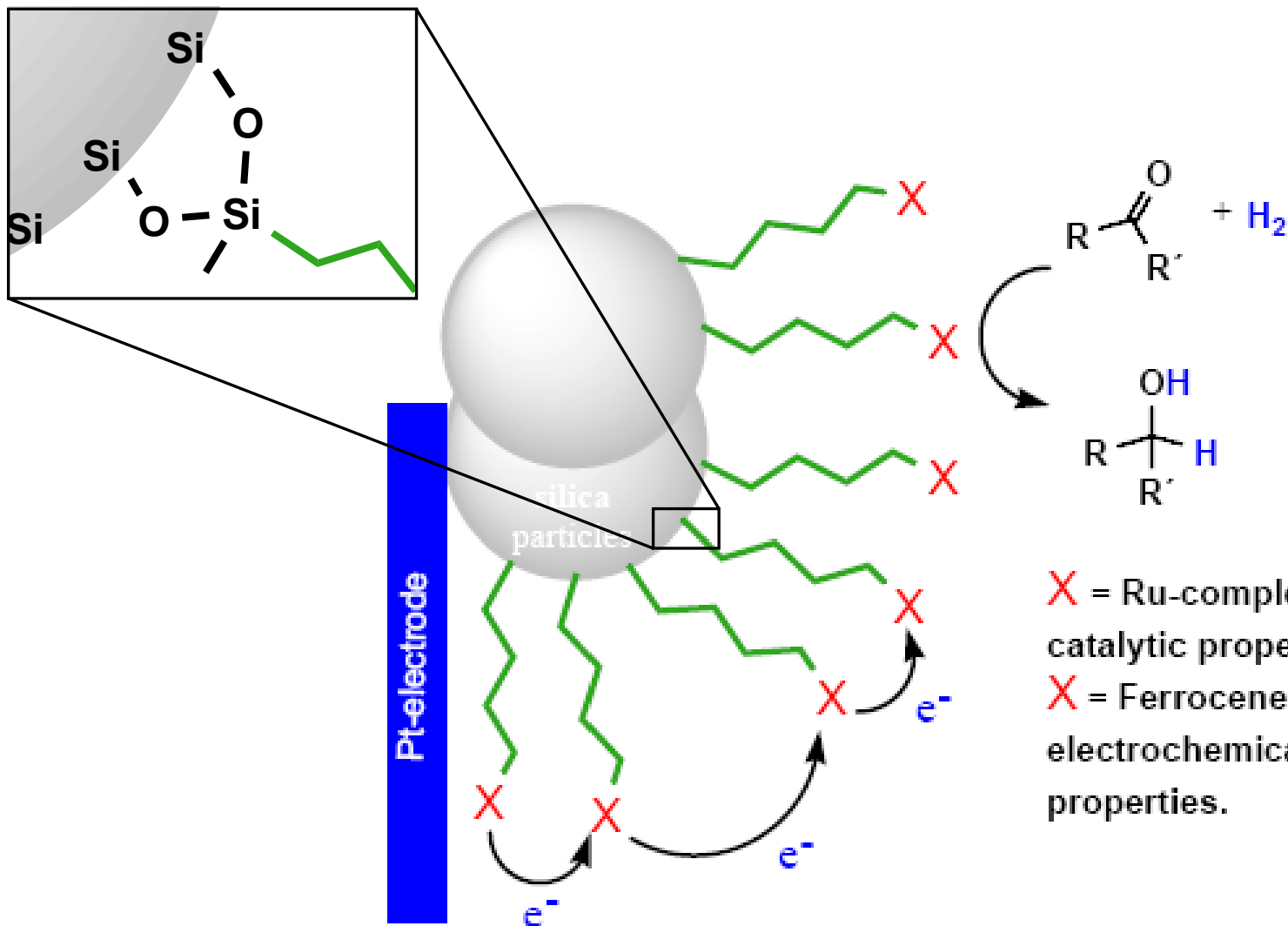
Charge transfer via electron hopping<sup>[4]</sup> between adjacent redox molecules on the particle surface.



# Elektrochemie von redoxaktiven Kieselgelpartikeln

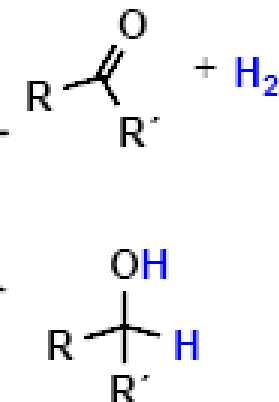
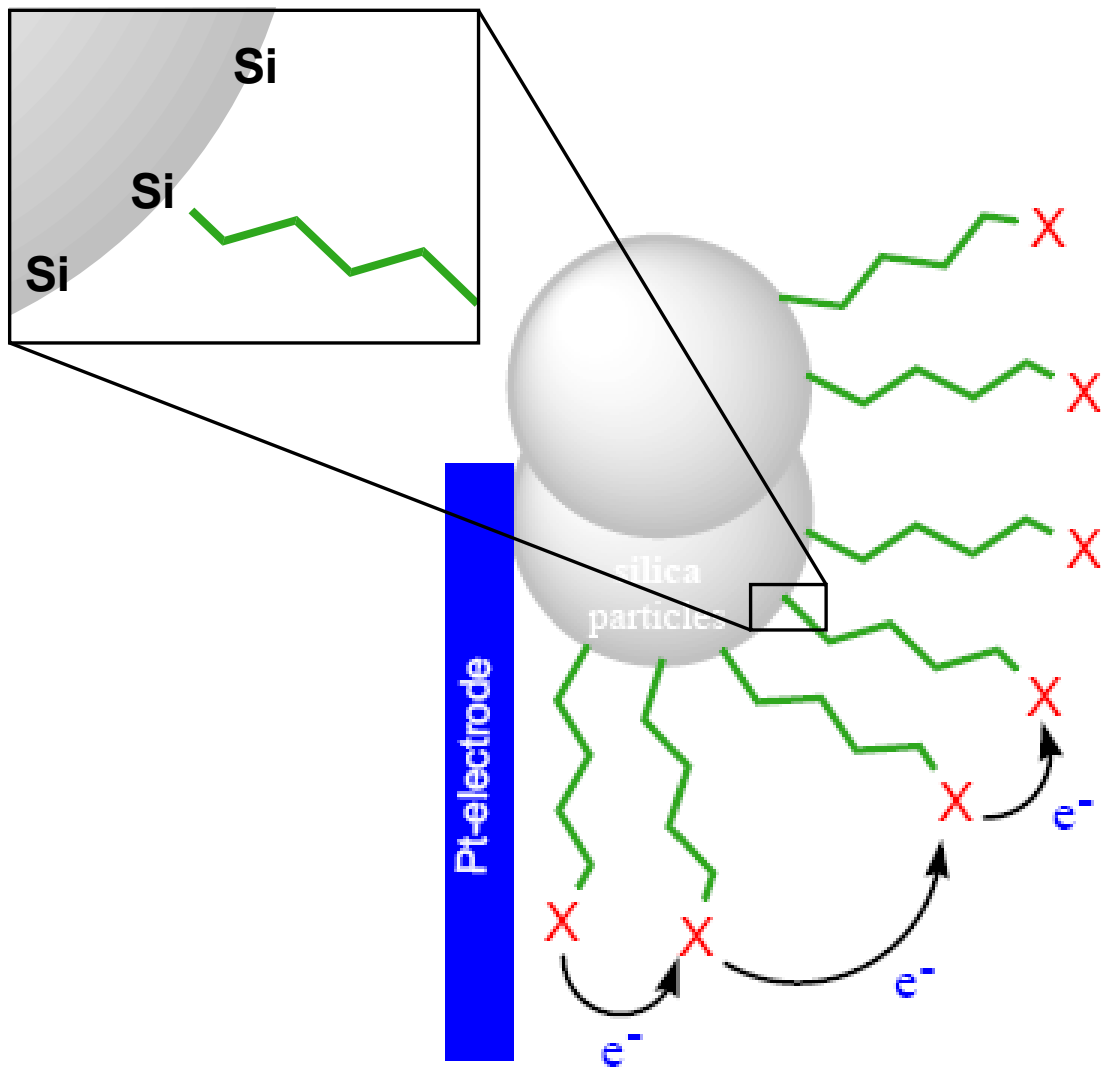


Redoxmoleküle, die nicht direkt an die Elektrodenoberfläche gebunden sind, können auch für Redoxprozesse erreichbar sein.



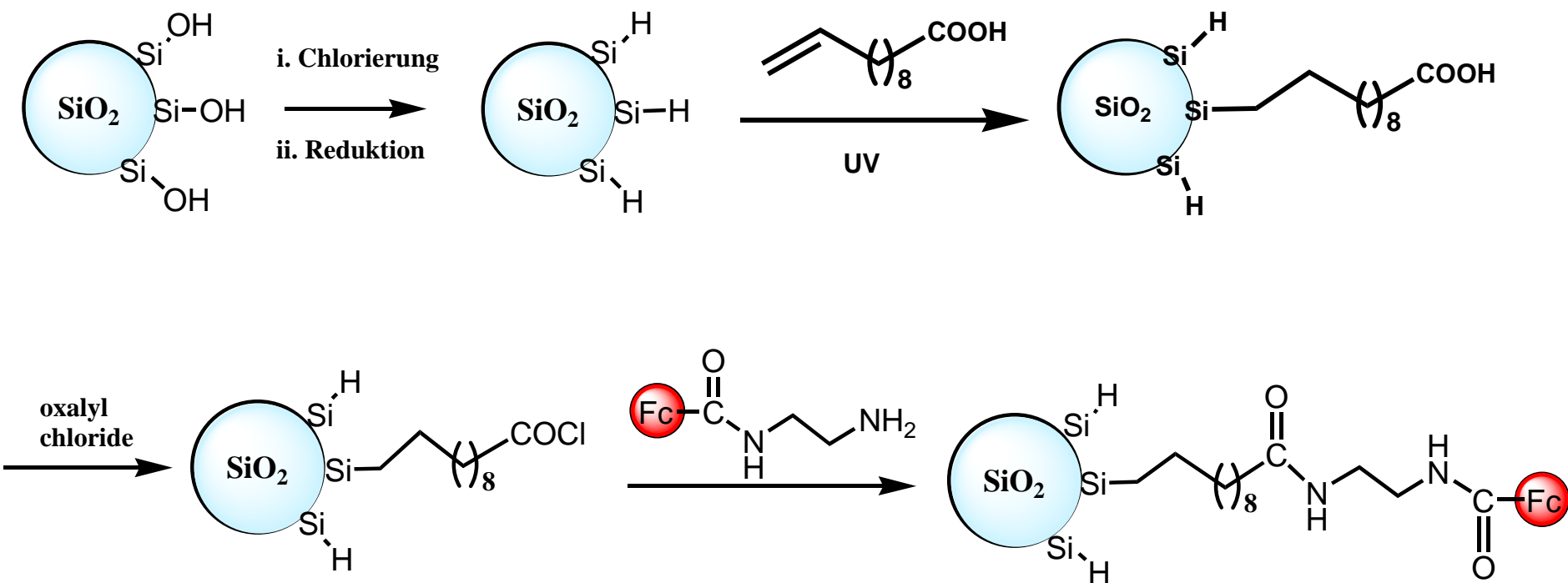
**X** = Ru-complex:  
catalytic properties  
**X** = Ferrocene:  
electrochemical  
properties.

1. A. Budny, F. Novak, N. Plumeré, B. Schetter,  
B. Speiser, D. Straub, H. A. Mayer, M. Reginek.  
*Langmuir*, in press.

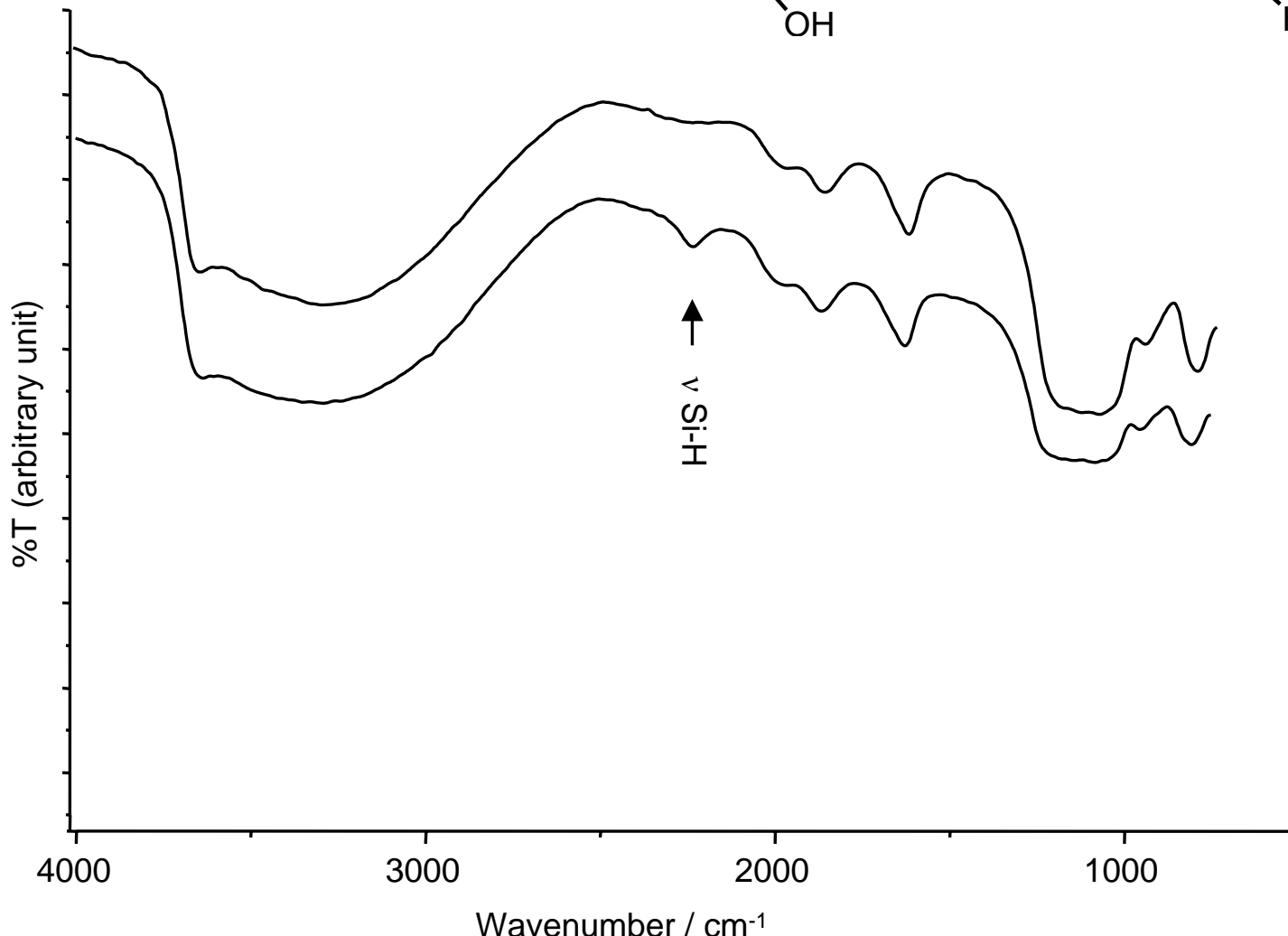
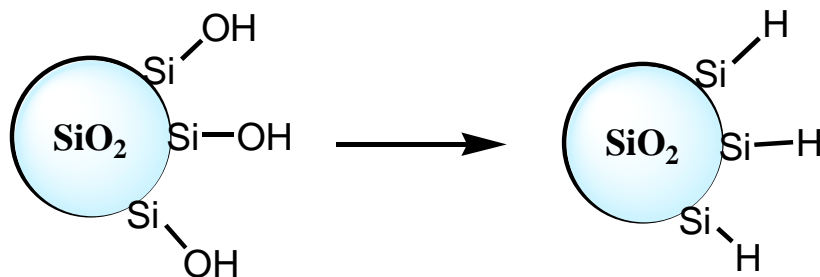


**X** = Ru-complex:  
catalytic properties  
**X** = Ferrocene:  
electrochemical  
properties.

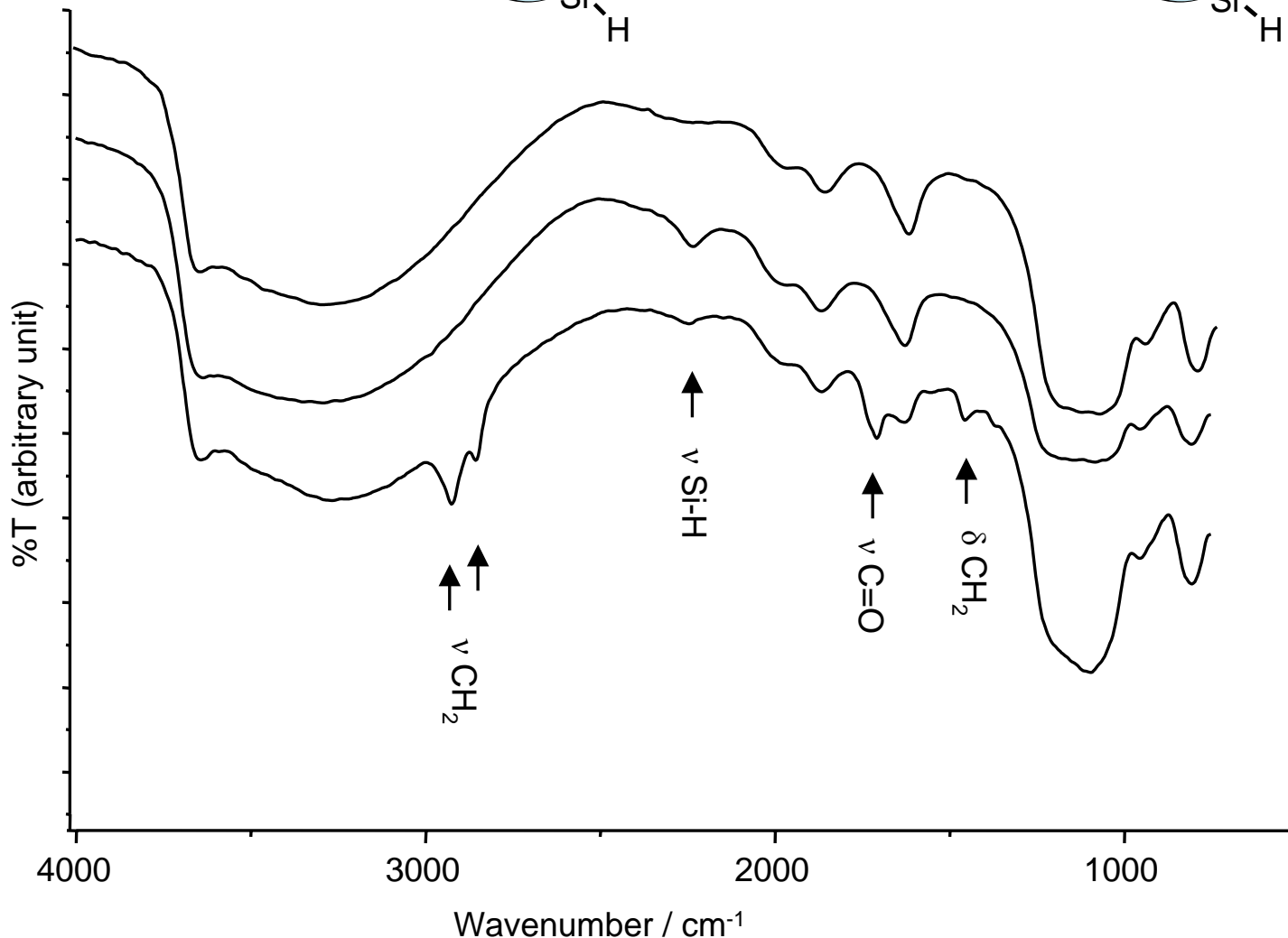
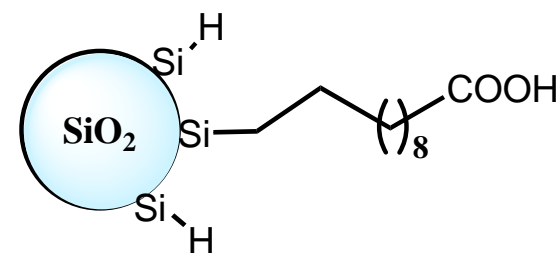
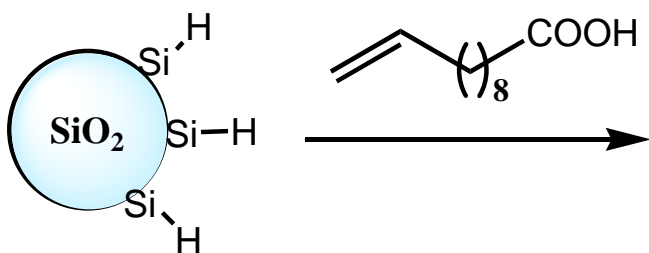
# Photochemische Hydrosilylierung :



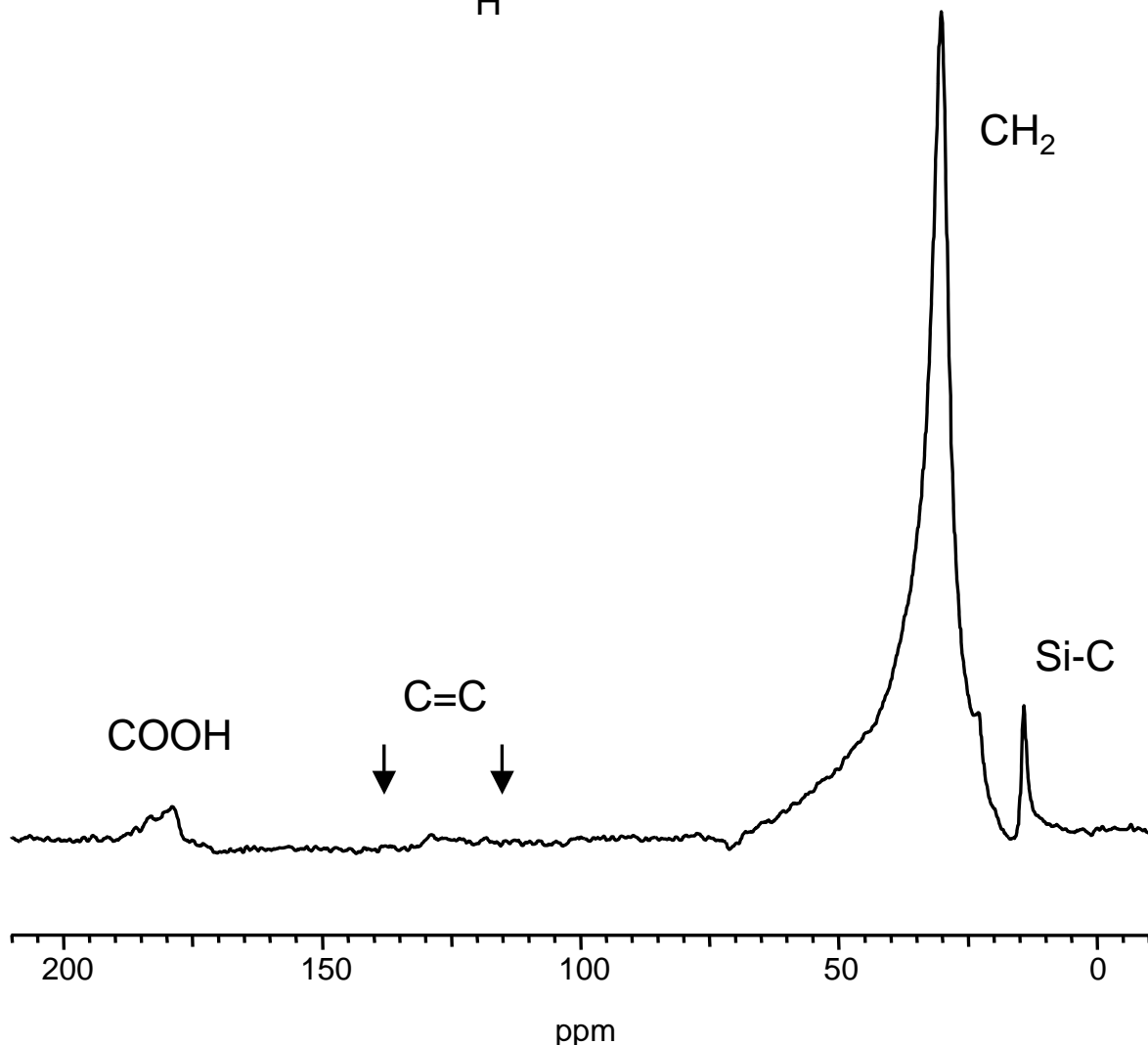
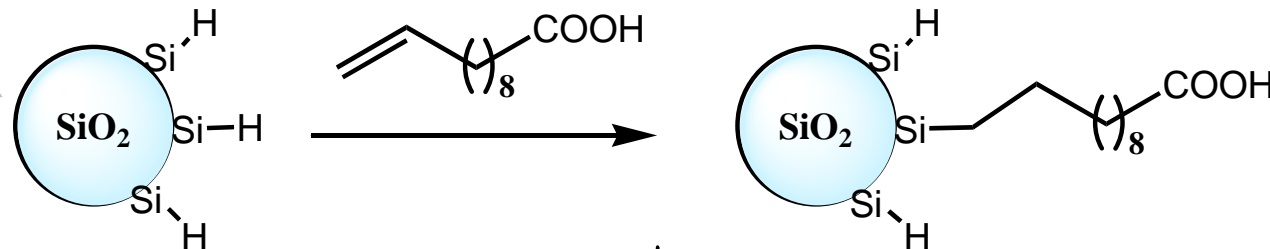
## DRIFT Spektrum von :



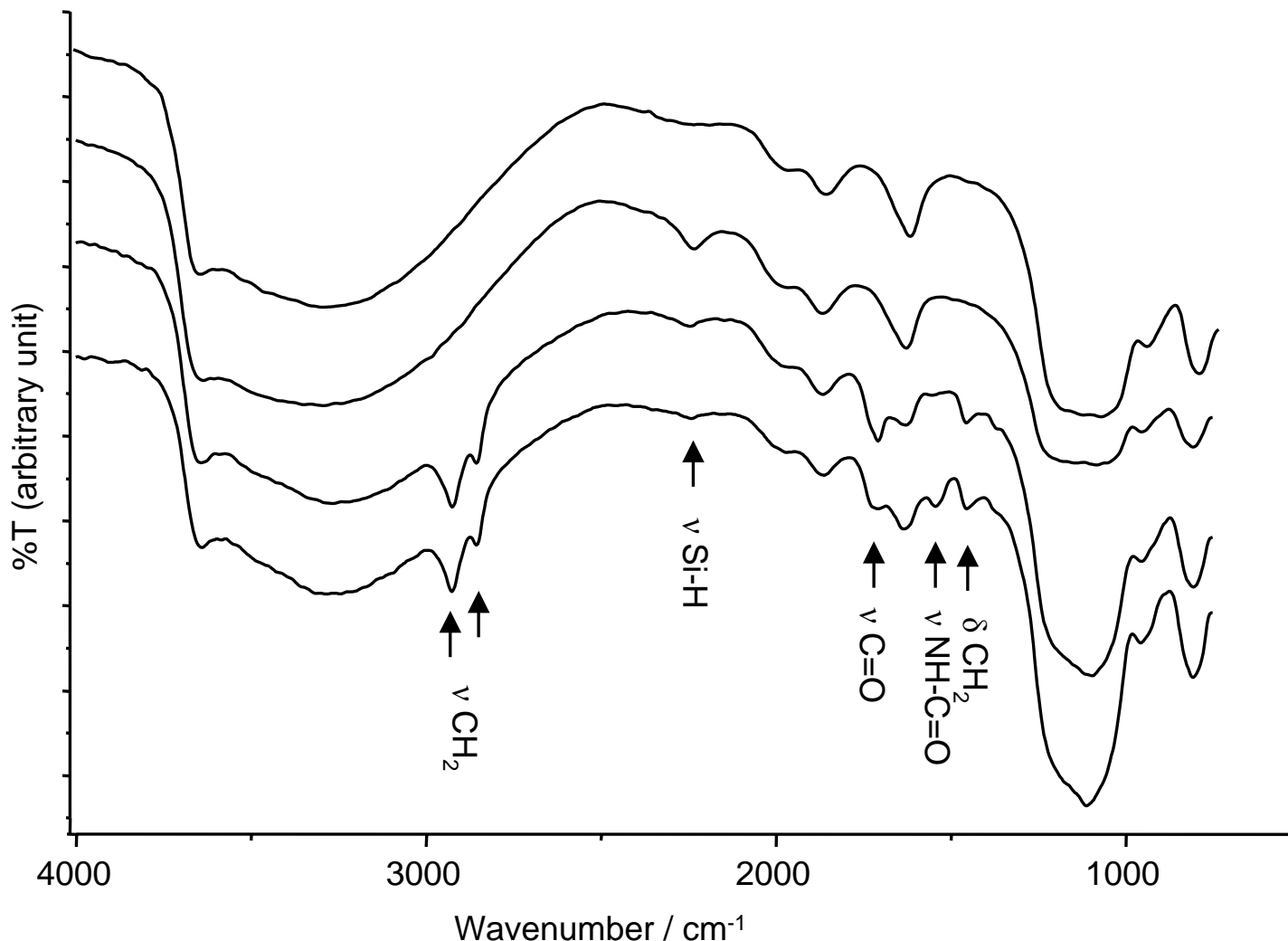
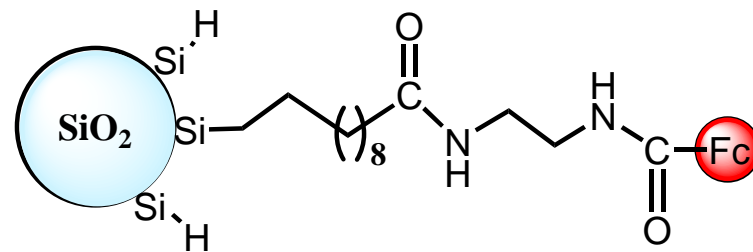
## DRIFT Spektrum von



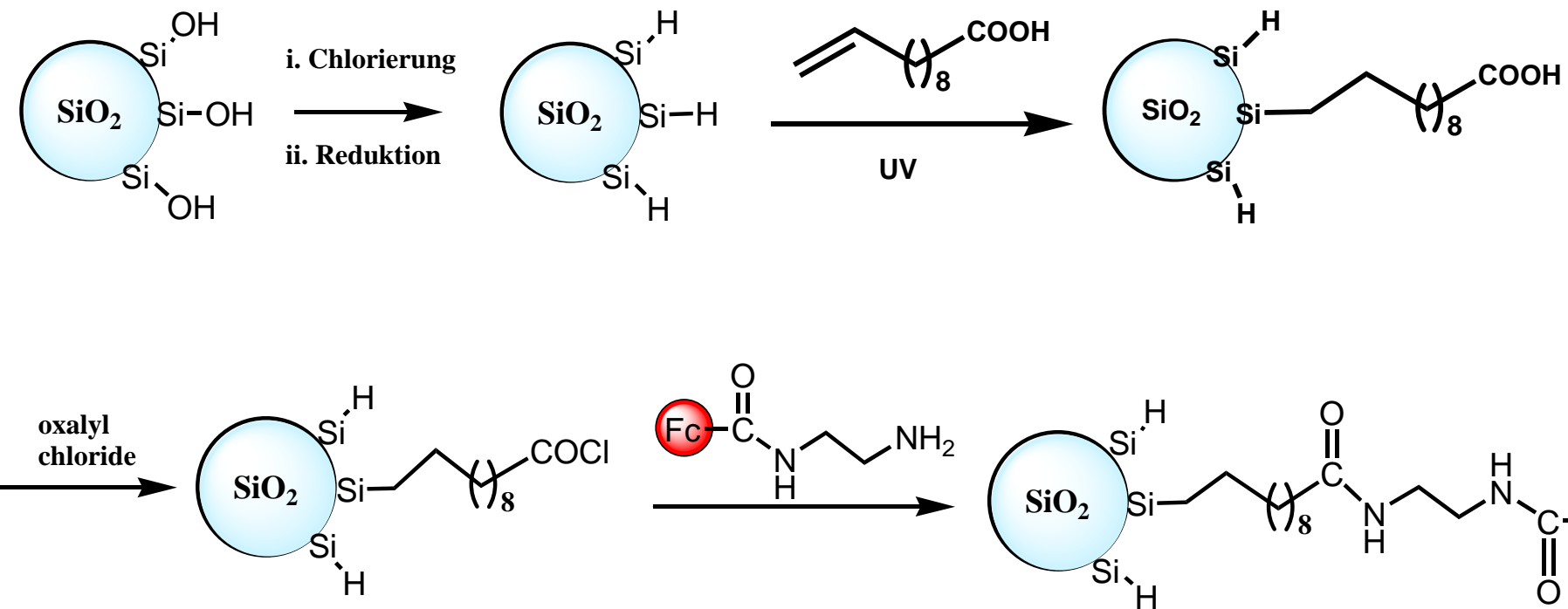
# Festkörper $^{13}\text{C}$ NMR Spektrum von:



## DRIFT Spektrum von :



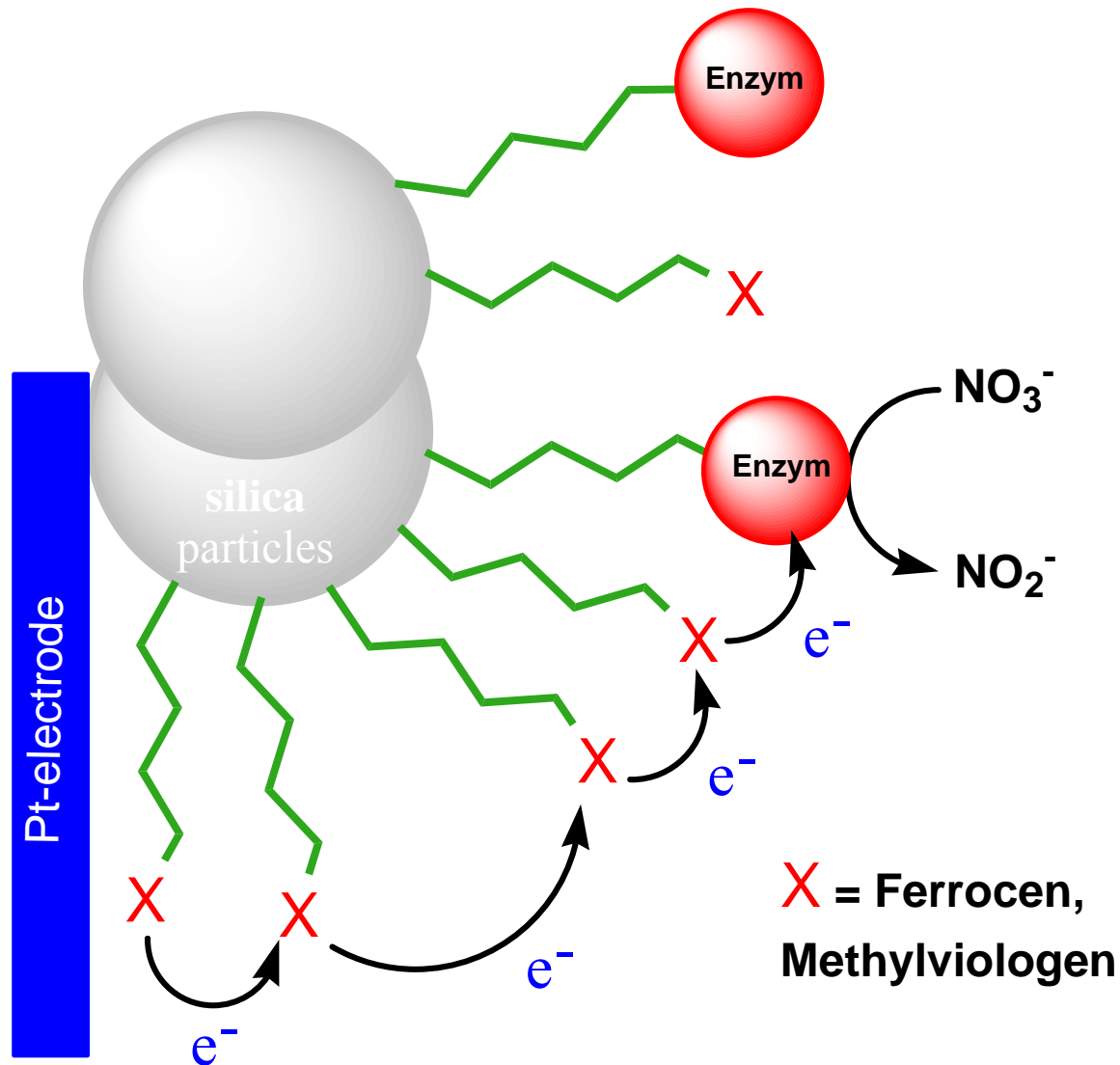
# Photochemische Hydrosilylierung :



→ Wasserstabile Anbindung

→ Einfache Methode für Elektronenmediatoranbindung

## Der nächste Schritt....





## Danksagung

- Den Mitarbeitern des Graduiertenkollegs ([www.interphasen.de](http://www.interphasen.de))
- Meinen Kollegen vom AK Speiser: Judith Schäfer, Ines Dreiling, Bernhard Sandig.
- der Deutschen Forschungsgemeinschaft